

北大工学部 学生員 ○ 間山正一  
 ド ド 北郷新平  
 ド 正員 中島昭雄

### 1. 概説

アスファルトのコンシステンシーを表現する方法として、針入度・軟化点などがある。しかし、コンシステンシーは温度と歪速度の関数であるので、この両者を含んだ表現が必要である。この両者を含む粘度はアスファルトのコンシステンシーを表現するのに最も適している。本研究は、同心円筒型回転粘度計を用いて、広い範囲にわたって剪断速度を変えて、主として高温における粘度を測定したものである。広範囲にわたってP.I., その他の物性のことなるストレートアスファルト, ゴム入りアスファルト, 触媒系アスファルトを使用した。(表-1)

### 2. 測定装置

外筒回転式の粘度計(図-1)を使用した。内筒(B)と外筒(C)の間にアスファルトを入れ、外筒を回転させる。ワイヤ(W)と直結された内筒は外筒の回転によってトルクを伝えられる。このトルクを差動トランス(T)によって記録し、レコーダ(R)を用いて自動的に記録する。本研究に用いた粘度計の規格を次に示す。

温度範囲 : 常温~250°C±2°C

歪速度 : 0.146~291(1/sec)

粘度測定範囲:  $5 \times 10^4 \sim 4 \times 10^5$  (poise)

### 3 計算式

ニュートン流体の場合には Couette の式を用い、非ニュートン流体の場合には Maron-Krieger の微分式を用いる。

### 4. 実験結果

21種類のアスファルトについて行なった測定結果は

- レオロジー・ダイヤグラム
  - 温度・粘度曲線
  - P.I. と感温性
  - 粘度の歪速度依存性
- について、表およびグラフで示す通りである。

図-1 粘度計の概要

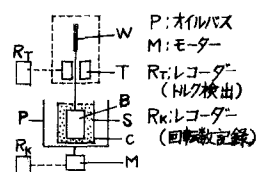
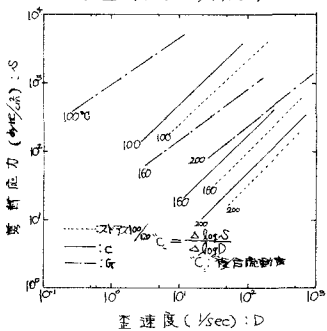


表-1 アスファルトの性状

アスファルト	針入度	軟化点	P. I.	$\eta_{sp}$
ストアス4060	45	52.8	-0.7	W.N
" 6% <sub>60</sub>	61	53.3	0.1	W.N
" 8% <sub>60</sub>	89	46.8	-0.2	W.N
" 10% <sub>20</sub>	102	44.6	-0.8	W.N
触媒系A	94	46.5	-0.5	N
" B	87	53.9	1.2	85
" C	91	48.6	0.0	50
" D	48	68.4	2.4	90
" E	61	58.8	1.3	90
" F	81	53.0	0.8	85
" G	84	67.9	4.0	95
" H	73	46.1	-1.3	N
" I	91	44.7	-1.2	N
" J	94	44.2	-1.2	N
" K	87	71.8	4.8	95
ゴムアスL	41	69.0	2.2	W
" M	58	69.4	3.2	W
" N	78	54.2	1.1	W
" O	70	63.5	2.6	W
" P	65	70.6	3.7	W
" Q	77	58.9	2.1	W

図-2. レオロジー・ダイヤグラム



## 5. 結果と考察

図-2のレオロジー・ダイヤグラムは、P.I.の高いアスファルトは、“ $C_s < 1$ ”であり、低温になるほど、この傾向が顕著である事を示す。つまり、P.I.の高いほど、又粘度が高くなるほど非ニュートニアニ性状を示していく。ほぼ同じP.I.でも、粘度の高いほど、複合流動度“ $C_s$ ”が小さくなる事は図-3でもわかる。図-4の温度粘度曲線はWaltherの式を変形し、 $\log \log 100\eta = -m \log T + C$ としている。アスファルトの比重を1として考えた。P.I.の高いアスファルトほど、感温性が小さい事を示す。これはストレート、触媒系を問わず成り立つ。但し、ゴムアスファルトは感温性については極めて小さい事がわかる。表-2は160°Cの粘度と見かけの勾配を示す。これを図-4にあてはめると、任意温度の粘度が求まる。但し、これは歪速度に依存する。従って、アスファルトが歪速度依存性を示す温度を求める事が必要である。表-1の“D”欄は歪速度の測定範囲内で、歪速度依存性の現われる温度を示している。“W”はワイセンベルグ効果のため測定不可能な温度範囲を示し、Nは温度と粘度が、粘度計の測定範囲を越えるため測定できない事を示す。ワイセンベルグ効果は同じく高いP.I.を持ちながら、触媒系アスファルトではゴムアスファルトより小さい。例えば回転数5 rpmに対して言うと5%のゴム・アスでは約100°C、触媒系ではP.I.=4で約60°C、スト・アスでは40～50°Cで生じる。表-1の“D”欄は、P.I.の高いものほど歪速度依存性の大きい事を示している。ここでは値の傾向だけを述べるにとどめる。以上、表-1～2、図-2～4より Spraying, Mixing, Compaction の粘度 ( $0.3 \sim 10^2$  ポアス)範囲では、約90°C以上の温度範囲なので、今回転粘度計は十分に使用できる。図-5は、表-2の見かけの勾配と、P.I.の関係を示す図で、かなりまとまった傾向を示す。半対数でプロットした時、P.I.の増加と共に直線性は薄れてくる。触媒系アスファルトでは、P.I.の高い時、ばらついている。図-6は回転粘度計とマイクロビスコメーターとを使用して得た温度・粘度曲線である。曲線上の数字は歪速度を示す。これから、歪速度と温度に対するアスファルトの依存性は、更に実証されよう。

図-3 温度と°Cの関係

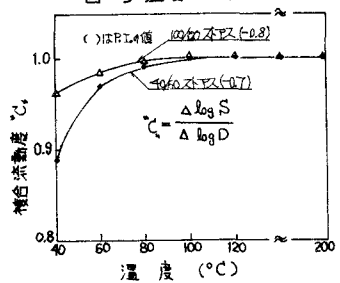


図-4 粘度・温度曲線

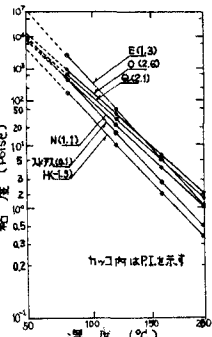


図-5 P.I.と見かけの勾配

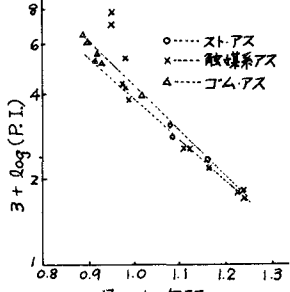


表-2 任意温度の粘度を求める表

アスファルト	160°Cの粘度 (Poise)	見かけの勾配
スト・アス40/60	2.10	1.160
“ ” 60/80	2.38	1.080
“ ” 80/100	1.60	1.082
“ ” 100/120	1.30	1.163
触媒系 A	1.05	1.100
“ ” B	2.35	0.980
“ ” C	1.50	1.054
“ ” D	1.09	0.985
“ ” E	5.40	0.979
“ ” F	2.87	0.990
“ ” G	0.02	0.950
“ ” H	1.28	1.241
“ ” I	0.91	1.240
“ ” J	1.05	1.230
“ ” K	10.11	0.951
“ ” L	11.5	0.920
“ ” M	14.20	0.960
“ ” N	4.00	1.020
“ ” O	6.40	0.920
“ ” P	4.80	0.890
“ ” Q	6.00	0.925

